

УДК 533.6.013.42

**О ГАШЕНИИ УПРУГИХ КОЛЕБАНИЙ КОНСТРУКЦИЙ  
С ЖИДКОСТЬЮ**

**БУЖИНСКИЙ В. А., МИКИШЕВ Г. Н.**

На основе предложенных гидродинамических гасителей рассматривается задача об ограничении амплитуд поперечных и продольных колебаний тонкостенных конструкций с жидкостью. Показано, что предложенные устройства обладают высокой эффективностью. Некоторые сведения о гидродинамических гасителях осесимметричных колебаний оболочек с жидкостью содержатся в [1]. Простейшей моделью этих гасителей является газовый пузырь, расположенный в жидкости. Колебания оболочек с жидкостью, внутри которых имеется газовый пузырь, изучались, например, в [1, 2]. Продольные колебания конструкции, включающей оболочку, заполненную жидкостью, при наличии в ней гидродинамического гасителя рассматривались в [3].

**1. Гидродинамические гасители.** Рассмотрим устройства для гашения поперечных и продольных колебаний конструкций с жидкостью, которые схематично изображены на фиг. 1, 2.

Гидродинамический гаситель поперечных колебаний выполнен в виде жесткой цилиндрической обечайки 1, которая посредством упругих связей (на фигуре не показаны) крепится к стенкам отсека 2, содержащего жидкость. Упругие связи таковы, что допускают перемещение обечайки в радиальном направлении. По торцам обечайка соединена со стенками отсека тонкими эластичными диафрагмами. Образованная таким образом кольцевая полость 3 герметична и заполнена газом.

При поперечных колебаниях отсека жидкость взаимодействует с обечайкой гасителя. В результате обечайка совершает относительные поперечные колебания. Существенно, что при этом в движение вовлекается значительная часть жидкости. В остальном действие такого устройства аналогично действию динамического гасителя колебаний в механических системах [4].

Собственная частота гасителя зависит от величины присоединенной массы жидкости и жесткости упругих связей. Диссиляция энергии колебаний гасителя в основном создается диссипативными элементами, расположенными внутри кольцевой полости.

Гидродинамический гаситель продольных колебаний выполнен в виде двух соосно расположенных упругих гофрированных оболочек (сильфонов) 1, 2 с общей жесткой крышкой 3 по торцам и установлен на днище 4 отсека с жидкостью. Кольцевая полость 5, образованная стенками сильфона крышки и днища, герметична и заполнена газом. Полость, образованная стенками внутреннего сильфона, днища и крышки, соединена с основной массой жидкости посредством перфорации в крышке.

При продольных колебаниях отсека вследствие взаимодействия с жидкостью происходит периодическое изменение объема полостей гасителя. При этом, как и в предыдущем устройстве, в относительное колебательное движение вовлекается значительная часть жидкости, содержащейся в отсеке.

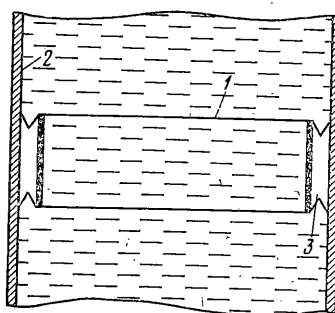
Собственная частота гасителя зависит от присоединенной массы жидкости, продольной жесткости сильфонов и упругости газа в кольцевой по-

ности. Диссипация энергии колебаний гасителя происходит при протекании жидкости через перфорацию. Величина диссипации зависит от площади перфорации и может регулироваться.

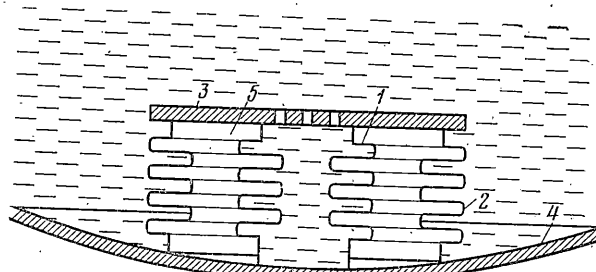
Описанное устройство предназначено для гашения продольных колебаний конструкций, включая осесимметричные колебания оболочек, заполненных жидкостью.

Гидродинамические гасители колебаний имеют малый вес, так как в качестве подвижной массы в них используется жидкость.

**2. Уравнения колебаний конструкций с гидродинамическими гасителями.** Рассмотрим удлиненную осесимметричную конструкцию, включающую тонкостенную оболочку, частично заполненную идеальной несжимаемой



Фиг. 1



Фиг. 2

жидкостью, внутри которой установлен гидродинамический гаситель колебаний.

Составим уравнения поперечных колебаний такой конструкции. Обозначим через  $l$  длину конструкции,  $EJ(x)$  — поперечную жесткость,  $\mu(x)$  — погонную массу сухой конструкции. Массой гасителя пренебрегаем. Примем, что свободная поверхность жидкости в оболочке перпендикулярна продольной оси конструкции  $Ox$ , направление которой противоположно вектору поля массовых сил. Начало декартовой системы координат  $Oxyz$  совместим с центром масс конструкции.

Пусть собственные формы  $\eta_j$  и частоты  $\sigma_j$  поперечных колебаний свободной конструкции без гасителя определены при решении задачи гидроупругости [5]:

$$(EJ\eta'')'' - \sigma^2 \left\{ \ddot{\eta} + \rho \oint_{\Gamma} \Phi \cos(z, v) d\Gamma + \left[ \rho \oint_{\Gamma} \Phi z \cos(x, v) d\Gamma \right]' \right\} = 0$$

$$\frac{\partial \Phi}{\partial v} = \eta \cos(z, v) - \eta' z \cos(x, v) \text{ на } S, \quad \Phi = 0 \text{ на } \Sigma \quad (2.1)$$

$$\eta'' = (EJ\eta'')' = 0 \text{ при } x = l_1, x = l_2$$

Здесь  $\eta$  — смещение упругой оси конструкции;  $\Phi$  — потенциал смещений жидкости в оболочке;  $\Gamma$  — контур поперечного сечения оболочки;  $\rho$  — плотность жидкости;  $S$  и  $\Sigma$  — смоченная поверхность оболочки и свободная поверхность жидкости;  $v$  — единичный вектор внешней нормали к поверхности  $S+\Sigma$ ;  $l_1, l_2$  — координаты концов конструкции. Штрихом обозначена производная по  $x$ .

Условия ортогональности собственных форм колебаний имеют вид [6]

$$\int_{l_1}^{l_2} \mu \eta_i \eta_j dx + \rho \int_{\tau} \nabla \Phi_i \nabla \Phi_j d\tau = \begin{cases} 0 & (i \neq j) \\ a_j & (i=j) \end{cases} \quad (2.2)$$

$$\int_{l_1}^{l_2} EJ \eta_i'' \eta_j'' dx = \begin{cases} 0 & (i \neq j) \\ \sigma_j^2 a_j & (i=j) \end{cases}$$

где  $\tau$  — объем, занятый жидкостью.

Перемещение упругой оси конструкции и потенциал смещений жидкости в оболочке с гасителем представим в виде

$$\eta(x, t) = \sum_{j=1}^{\infty} \eta_j q_j(t), \quad \chi(x, y, z) = \sum_{j=1}^{\infty} \Phi_j q_j(t) + V \zeta(t) \quad (2.3)$$

где  $\zeta$  — смещение обечайки гасителя относительно оболочки вдоль оси  $Oz$ . Функция  $V$  гармоническая в  $\tau$  и удовлетворяет граничным условиям

$$V=0 \text{ на } \Sigma, \quad \frac{\partial V}{\partial v}=0 \text{ на } S-S_0, \quad \frac{\partial V}{\partial v}=\cos(z, v) \text{ на } S_0 \quad (2.4)$$

где  $S_0$  — смоченная поверхность обечайки гасителя.

Примем  $q_j (j=1, 2, \dots)$  и  $\zeta$  за обобщенные координаты системы. Используя соотношения (2.3), граничные условия (2.1), (2.4) и условия ортогональности (2.2), запишем функцию Лагранжа системы в виде

$$L = \sum_{j=1}^{\infty} \left( \frac{1}{2} a_j q_j'' + \varepsilon_j \zeta'' q_j' + \frac{1}{2} \sigma_j^2 a_j q_j^2 \right) + \frac{1}{2} b \zeta''^2 + \frac{1}{2} \sigma^2 b \zeta^2 \quad (2.5)$$

$$b = \rho \int_{\tau} (\nabla V)^2 d\tau, \quad \varepsilon_j = \rho \int_{\tau} \nabla \Phi_j \nabla V d\tau$$

Располагая функцией Лагранжа, нетрудно составить уравнения движения ( $Q_j$  — обобщенные силы):

$$a_j (q_j'' + \sigma_j^2 q_j) + \varepsilon_j \zeta'' = Q_j \quad (j=1, 2, \dots) \quad (2.6)$$

$$b (\zeta'' + \sigma^2 \zeta) + \sum_{j=1}^{\infty} \varepsilon_j q_j'' = 0$$

Пусть  $x^0$  — координата центра приложения главного вектора гидродинамических сил, действующих на обечайку гасителя. Применяя к выражению для  $\varepsilon_j$  в (2.5) формулу Грина и используя граничные условия (2.1), (2.4), находим

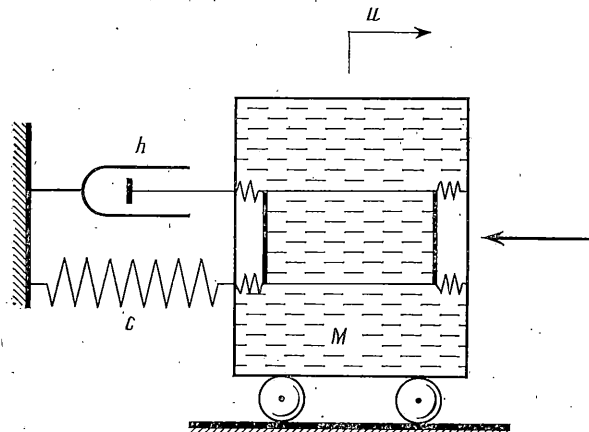
$$\varepsilon_j = \eta_j(x^0) \int_S V \cos(z, v) dS = \eta_j(x^0) \varepsilon \quad (2.7)$$

Подставляя (2.7) в (2.6) и переходя к новой обобщенной координате  $q = \zeta b / \varepsilon$ , а также учитывая диссиацию энергии колебаний, получим

$$a_j (q_j'' + \beta_j q_j' + \sigma_j^2 q_j) + \eta_j(x^0) m q'' = Q_j \quad (j=1, 2, \dots)$$

$$q_{ij}^{..} + \beta q_{ij}^{\cdot} + \sigma^2 q_{ij} + \sum_{j=1}^{\infty} \eta_j(x^0) q_j^{..} = 0 \quad (2.8)$$

Полученная система уравнений является наиболее удобной для исследования поперечных колебаний конструкции с гидродинамическим гасителем. Она допускает введение простого механического аналога системы, включающего неоднородный упругий стержень и присоединенный к нему в сечении  $x=x^0$  осциллятор с массой  $m=\varepsilon^2/b$ , собственной частотой колебаний  $\sigma$  и коэффициентом демпфирования  $\beta$ . Коэффициенты  $m$ ,  $\sigma$  и  $\beta$  не зависят от выбора обобщенных координат, т. е. являются инвариантными параметрами. Так как динамические характеристики конструкции без гасителя



Фиг. 3

предполагаются заданными, то в уравнениях (2.8) только эти три параметра являются неизвестными и подлежат определению.

В частном случае, при рассмотрении поперечных колебаний жесткого отсека с гидродинамическим гасителем на подвесе (фиг. 3), уравнения существенно упрощаются:

$$\begin{aligned} M(u^{..} + \beta_0 u^{\cdot} + \Omega^2 u) + mq^{..} &= F \cos \omega t \\ q^{..} + \beta q^{\cdot} + \sigma^2 q + u^{..} &= 0, \quad \Omega^2 = c/M, \quad \beta_0 = h/M \end{aligned} \quad (2.9)$$

В эти уравнения входят те же инвариантные параметры  $m$ ,  $\sigma$  и  $\beta$ . Они могут быть положены в основу их экспериментального определения.

Уравнения продольных колебаний удлиненной тонкостенной конструкции с жидкостью при наличии гидродинамического гасителя получены в [3]. С учетом диссипации энергии колебаний они имеют вид

$$a_j(q_j^{..} + \beta_j q_j^{\cdot} + \sigma_j^2 q_j) + \varepsilon_j \xi^{..} = Q_j \quad (j=0, 1, 2, \dots) \quad (2.10)$$

$$b(\xi^{..} + \beta \xi^{\cdot} + \sigma^2 \xi) + \sum_{j=0}^{\infty} \varepsilon_j q_j^{..} = 0$$

( $j=0$  соответствует форме колебаний конструкции как твердого тела, т. е.  $\sigma_0=0$ ,  $\beta_0=0$ ). Динамические свойства гасителя и его взаимодействие с конструкцией в этих уравнениях характеризуют коэффициенты

$$b = \rho \int_{\tau} (\nabla V)^2 d\tau, \quad \varepsilon_0 = \rho \int_{\tau} \nabla x \nabla V d\tau, \quad \varepsilon_{n0} = \rho \int_{\tau} \nabla V \nabla \Phi_n d\tau, \quad (2.11)$$

$$e_j = \sum_{n=1}^{\infty} \frac{\lambda_{n0} e_{n0}}{\mu_{n0}} g_{nj}$$

а также коэффициент демпфирования  $\beta$ . Через  $g_{nj}$  здесь обозначены коэффициенты форм колебаний, эквивалентных оболочке с жидкостью осцилляторов, через  $\lambda_{n0}$ ,  $\mu_{n0}$  — присоединенные массы жидкости [7]. Функции  $\Phi_n$  и  $V$  — гармонические в  $\tau$  и удовлетворяют граничным условиям

$$\begin{aligned} \Phi_n = 0 & \text{ на } \Sigma, \quad \frac{\partial \Phi_n}{\partial v} = w_n \text{ на } S, \quad V = 0 \text{ на } \Sigma, \quad \frac{\partial V}{\partial v} = 0 \text{ на } S, \\ & \frac{\partial V}{\partial v} = -1 \text{ на } S_0 \end{aligned} \quad (2.12)$$

где  $S_0$  — смоченная поверхность подвижной крышки сильфонов,  $w_n$  — собственные формы осесимметричных колебаний оболочки с жидкостью, в которой установлен гаситель.

**3. Определение коэффициентов уравнений.** При известных динамических характеристиках конструкции определению подлежат лишь коэффициенты, характеризующие динамические свойства гасителя и его взаимодействие с конструкцией. Для их определения могут использоваться как теоретические, так и экспериментальные методы. Однако использование теоретических методов ограничено сравнительно простыми конфигурациями оболочек. Коэффициенты демпфирования могут быть определены только экспериментально.

Искомыми коэффициентами уравнений поперечных колебаний являются  $m$ ,  $\sigma$  и  $\beta$  или  $b$ ,  $\varepsilon$  и  $\beta$ . Определим коэффициенты  $b$ ,  $\varepsilon$  и  $m$  для цилиндрической оболочки с плоским днищем.

Введем цилиндрическую систему координат  $Ox\tau\theta$  с началом в центре днища. Краевую задачу для потенциала  $V$  сформулируем в виде

$$\begin{aligned} \frac{\partial^2 V}{\partial r^2} + \frac{1}{r} \frac{\partial V}{\partial r} + \frac{1}{r^2} \frac{\partial^2 V}{\partial \theta^2} + \frac{\partial^2 V}{\partial x^2} &= 0 \text{ в } \tau \\ V = 0, x = H; \frac{\partial V}{\partial x} = 0, x = 0 & \\ \frac{\partial V}{\partial r} = \cos \theta \quad (r = R, l_0 - a \leq x \leq l_0 + a) & \\ \frac{\partial V}{\partial r} = 0 \quad (r = R, l_0 + a < x \leq H, 0 \leq x < l_0 - a) & \end{aligned} \quad (3.1)$$

Здесь  $H$  — высота жидкости,  $R$  — радиус оболочки,  $a$  — полувысота обечайки гасителя,  $l_0$  — расстояние от днища до средней линии обечайки.

Применяя к задаче (3.1) метод Фурье, получим

$$V = \frac{4R^2 \cos \theta}{H} \sum_{n=1}^{\infty} \frac{\sin p_n a^\vee \cos p_n l_0^\vee}{p_n [p_n I_0(p_n) - I_1(p_n)]} I_1 \left( \frac{p_n r}{R} \right) \cos \frac{p_n x}{R} \quad (3.2)$$

$$p_n = \pi R (2n-1)/2H, a^\vee = a/R, l_0^\vee = l_0/R$$

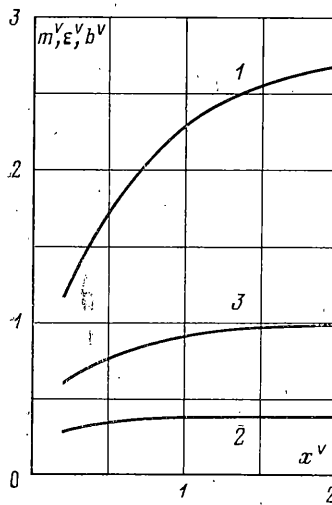
где  $I_0$ ,  $I_1$  — модифицированные функции Бесселя 1-го рода нулевого и первого порядка.

Учитывая (2.7) и граничные условия (3.1), из (2.5) находим

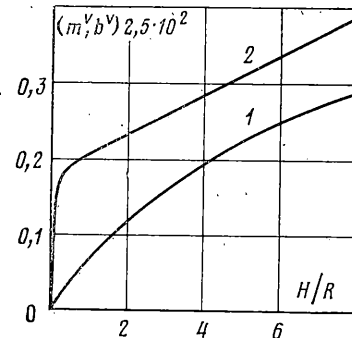
$$b = \frac{8\pi\rho R^4}{H} \sum_{n=1}^{\infty} \frac{\sin^2 p_n a^\vee \cos^2 p_n l_0^\vee}{p_n^2 [p_n I_0(p_n)/I_1(p_n) - 1]} \quad (3.3)$$

$$\varepsilon = \frac{4\pi\rho R^4}{H} \sum_{n=1}^{\infty} (-1)^{n+1} \frac{\sin p_n a^\vee \cos p_n l_0^\vee}{p_n^2 [p_n I_0(p_n)/I_1(p_n) - 1]}$$

На фиг. 4 приведены зависимости безразмерных коэффициентов  $m^v = m/m^\circ$  (кривая 1),  $b^v = b/m^\circ$  (кривая 2) и  $\varepsilon^v = \varepsilon/m^\circ$  (кривая 3) от относительной высоты жидкости над гасителем  $x^v = (H - l_0 - a)/R$  при  $a = 0,2 R$ ,  $l_0 = 2R$  ( $m^\circ = 2\pi\rho R^2 a$ ). Как видно, масса эквивалентного осциллятора  $m$  может значительно превышать массу жидкости  $m^\circ$ , заключенную в объеме, образованном обечайкой гасителя и плоскостями по ее торцам. Присоединенная масса гасителя  $b$  существенно зависит от  $x$  только при его малых значениях ( $x < 0,5 R$ ). Коэффициент  $\varepsilon$  с увеличением  $x$  стремится к  $m^\circ$ . Если по торцам обечайки гасителя установить жесткие диафрагмы, то все три коэффициента будут равны  $m^\circ$ .



Фиг. 4



Фиг. 5

Определим коэффициенты  $\varepsilon_0$ ,  $\varepsilon_{n0}$  и  $b$  уравнений продольных колебаний для гидродинамического гасителя, показанного на фиг. 2.

Введем следующие обозначения:  $R_+$ ,  $r_+$  — внешние радиусы сильфонов,  $R_-$ ,  $r_-$  — внутренние радиусы,  $N$  — число гофр. Предполагая, что нормальные прогибы  $v_1$ ,  $v_2$  поверхностей гофр сильфонов линейно зависят от  $r$ , и учитывая, что  $\partial V/\partial v = -1$  на  $S_0$ , находим

$$v_1 = \frac{1}{2N} \frac{R_+ - r}{R_+ - R_-}, \quad v_2 = \frac{1}{2N} \frac{r_+ - r}{r_+ - r_-} \quad (3.4)$$

Тем самым производная  $\partial V/\partial v$  определена на всей смоченной поверхности гасителя.

Применяя к выражениям для  $\varepsilon_0$  и  $\varepsilon_{n0}$  в (2.11) формулу Грина, учитывая граничные условия (2.12), соотношения (3.4) и условие неразрывности  $\int_{S+\Sigma} \frac{\partial V}{\partial v} dS = 0$ , а также принимая во внимание небольшие размеры гасителя, получим

$$\varepsilon_0 = -\rho H S^\circ, \quad \varepsilon_{n0} = -\rho \Phi_n S^\circ \quad (3.5)$$

$$S^\circ = \frac{\pi}{3} [(R_+^2 + R_+ R_- + R_-^2) - (r_+^2 + r_+ r_- + r_-^2)]$$

Коэффициент присоединенной массы для цилиндрической оболочки с пологим днищем, в полюсе которого установлен гидродинамический гаситель, приближенно можно определить по формуле [3]:

$$b = \pi \rho \frac{R_+^4 H}{R^2} + 4\pi \rho R R_+^2 \sum_{n=1}^{\infty} \frac{\operatorname{th}(\xi_n H/R)}{\xi_n^3} \frac{J_1^2(\xi_n R_+/R)}{J_0^2(\xi_n)} \quad (3.6)$$

Здесь  $J_0$ ,  $J_1$  — функции Бесселя 1-го рода нулевого и первого порядка,  $\xi_n$  — корни уравнения  $J_1(\xi)=0$ .

Отметим, что из [2] следует простая зависимость

$$b=\pi R_+^3/8\pi+(R_+/R)(H/R-9/8) \quad (3.7)$$

которую можно использовать при  $H>0,5R$ .

На фиг. 5 приведены зависимости безразмерных коэффициентов  $m^{\vee}=e_0^2/(\pi R^2 H b)$  (кривая 1) и  $b^{\vee}=b/(\pi R^3)$  (кривая 2) от  $H/R$ , рассчитанные по формулам (3.5), (3.6) при  $R_+=0,1R$ ,  $R_-=0,75R_+$ ,  $r_+=0,24R_+$ ,  $r_-=0,12R_+$ .

Сравнение с результатами [3] показывает, что при определении  $e_0$  и  $m$  необходимо учитывать влияние гофр.

**4. Выбор параметров и эффективность гасителей.** Рассмотрим задачу оптимизации параметров гасителей, основываясь на уравнениях

$$u''+\Omega^2 u+\kappa q''=F_0 e^{i\omega t}, \quad q''+\beta q'+\sigma^2 q+u''=0 \quad (4.1)$$

К виду (4.1) в первом приближении могут быть приведены уравнения как поперечных, так и продольных колебаний конструкций в силу настройки гасителей на определенный тон колебаний. Демпфирование колебаний самой конструкции считаем слабым, и поэтому не учитываем [8].

Введем безразмерное ускорение  $j=u''/F_0$ , амплитуду которого  $A$  в силу (4.1), следя [8], представим в виде

$$A=\sqrt{(a_1^2+p^2g^2a_2^2)/(b_1^2+p^2g^2b_2^2)} \quad (4.2)$$

$$\begin{aligned} a_1 &= p^2(n^2-p^2), \quad a_2 = p^2, \quad b_1 = (1-p^2)(n^2-p^2)-\kappa p^4 \\ b_2 &= 1-p^2, \quad p=\omega/\Omega, \quad n=\sigma/\Omega, \quad g=\beta/\Omega \end{aligned}$$

Пусть при фиксированных  $\sigma$ ,  $\Omega$  и  $\kappa$  требуется найти минимальное значение  $A_*$  максимальной амплитуды ускорений

$$A_*=\min_{p,g} \max A(p,n,g,\kappa) \quad (4.3)$$

Воспользуемся свойством резонансных кривых (4.2) проходить через две инвариантные точки, ординаты которых  $A_{1,2}$  не зависят от величины демпфирования [4]. Пусть  $A_1 \neq A_2$ . Тогда можно найти такой оптимальный относительный коэффициент демпфирования гасителя  $g^*$ , что касательная к резонансной кривой в инвариантной точке с большей ординатой будет горизонтальна, т. е. в этой точке  $\partial A / \partial p^2=0$ . Если амплитуда второго резонансного пика (4.2) при этом окажется меньше, чем эта большая из ординат, что выполняется при значениях  $n$ , не слишком близких к единице, то  $A_*=\max\{A_{1,2}\}$ .

Частоты, соответствующие инвариантным точкам, находятся из уравнения  $a_1/b_1=-a_2/b_2$ , решая которое, получим

$$p_{1,2}=\left(1+n^2 \pm \sqrt{(1-n^2)^2+2\kappa n^2}\right)/(2-\kappa) \quad (4.4)$$

Используя (4.4), ординаты инвариантных точек удобно определить из (4.2) при  $g=\infty$  по формуле  $A_{1,2}=p_{1,2}^2/|1-p_{1,2}^2|$ .

Безразмерная резонансная амплитуда ускорений конструкции без гасителя, как известно, обратно пропорциональна относительному коэффициенту демпфирования. Поэтому обратную  $A_*$  величину

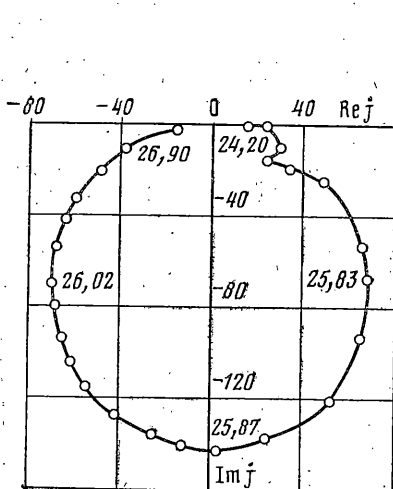
$$g_*=\min \left\{ \left| 1 - \frac{2-\kappa}{1+n^2 \pm \sqrt{(1-n^2)^2+2\kappa n^2}} \right| \right\} \quad (4.5)$$

естественно определить как эквивалентный действию гасителя оптимальный относительный коэффициент демпфирования конструкции.

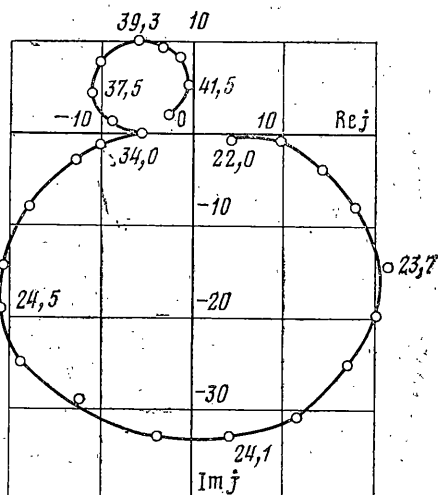
Пусть при фиксированных значениях только  $\Omega$  и  $\kappa$  требуется найти

$$A_{**}=\min_{p,g,n} \max A(p,g,n,\kappa) \quad (4.6)$$

Условие оптимальности может быть выполнено лишь при равенстве ординат инвариантных точек [4]. Из  $A_1=A_2$  находим оптимальную настройку



Фиг. 6



Фиг. 7

гасителя по частоте  $n=1$ . Подставляя  $n=1$  в выражения для  $A_*$  и  $g_*$ , получим

$$A_{**} = \sqrt{2/\kappa}, \quad g_{**} = \sqrt{\kappa/2} \quad (4.7)$$

Из (4.4), учитывая (4.7), нетрудно определить оптимальное значение  $g$  для каждой из инвариантных точек.

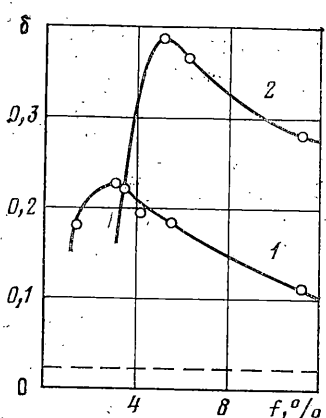
$$g_{1,2} = [\frac{3}{2}\kappa(1 \mp \sqrt{1/\kappa})/(1 - \frac{1}{2}\kappa)]^{1/2} \quad (4.8)$$

При малых  $\kappa$  вместо (4.8) можно принять  $g^* = \sqrt{3\kappa/2}$ .

5. Некоторые результаты экспериментальных исследований. Исследовались вынужденные осесимметричные колебания цилиндрической оболочки с гидродинамическим гасителем, показанным на фиг. 2. Для испытаний использовалась подкрепленная поперечным силовым набором цилиндрическая оболочка с пологим сферическим днищем, изготовленная из сплава АМг6, имеющая следующие размеры: высота обечайки 1000 мм, радиус 350 мм, радиус днища 1000 мм, толщина обечайки 0,8 мм, толщина днища 0,5 мм. Гаситель колебаний устанавливался в полюсе днища и имел следующие размеры: высота сильфонов 80 мм,  $R_+ = 50$  мм,  $R_- = 38$  мм,  $r_+ = 19$  мм,  $r_- = 12$  мм. Он был снабжен простым устройством для регулирования площади перфорации  $f$ . Оболочка жестко защемлялась по верхнему силовому шпангоуту и заполнялась водой до верхнего среза цилиндрической части. Колебания оболочки задавались электродинамическим силовозбудителем, тяга которого присоединялась к полюсу днища. Динамические характеристики определялись известными методами с использованием многоканальной вибрационной установки [7].

На фиг. 6 и 7 представлены амплитудно-фазовые частотные характеристики оболочки по ускорению без гасителя и с гасителем ( $f=11,3\%$ ) при силе возбуждения  $F=20 H$ . Вдоль кривых нанесены значения частоты. Собственная частота основного тона колебаний оболочки  $\nu=25,87$  Гц, а соответствующий логарифмический декремент колебаний  $\delta=\lg g=0,022$ . Амплитудно-фазовая характеристика оболочки с гасителем имеет две петли, соответствующие двум собственным частотам системы, одна из которых близка к парциальной частоте колебаний оболочки, другая — к парциальной частоте колебаний гасителя. Значения собственных частот системы равны 24,1 и 39,3 Гц, декрементов  $-0,104$  и  $0,314$  соответственно. Амплитуда ускорений уменьшилась более чем в 4 раза.

Для определения параметра  $\kappa$  и собственной частоты колебаний гасителя  $\nu$  воспользуемся частотным уравнением системы (4.1)  $(1-p^2)(n^2-p^2)-\kappa p^4=0$ . Подставляя в него экспериментальные



Фиг. 8

значения парциальной частоты колебаний оболочки и собственных частот систем приходим к двум уравнениям, из которых получим  $\kappa=0,144$ ,  $n=1,31$  и  $v=34,0$  Гц.

Теоретическое значение параметра  $\kappa=\varepsilon_{10}^2/b\mu_{10}$  нетрудно получить, если принять во внимание, что для цилиндрической оболочки с пологим дном присоединенная масса  $\mu_{10}$  близка к полной массе жидкости [7] и  $\varepsilon_{10} \approx \varepsilon_0$  [3]. Учитывая это и используя (3.5), (3.6), находим  $\kappa=0,150$ . Таким образом, экспериментально определенное значение  $\kappa$  всего на 7% ниже теоретического.

Далее экспериментально определялась зависимость эквивалентного действию гасителя декремента колебаний оболочки от величины площади перфорации. Эквивалентный декремент вычислялся по уменьшению диаметра петель амплитудно-фазовых характеристик. Результаты приведены на фиг. 8. Штриховой линией показан декремент колебаний оболочки без гасителя. Кривая 1 соответствует случаю, когда газовая полость гасителя герметична. Максимальный эквивалентный декремент  $\delta_* = \pi g_* = 0,22$  был получен при  $f=3\%$  (от площади  $\pi r^2$ ). Амплитуда колебаний оболочки в этом случае уменьшилась в 10 раз. По формуле (4.5) при  $\kappa=0,144$ ,  $n=1,31$  находим  $\delta_*=0,25$ , что на 14% выше значения, определенного экспериментально.

Кривая 2 соответствует случаю, когда газовая полость гасителя соединена с атмосферой. Эффективность гасителя здесь значительно выше. Это обусловлено сближением парциальных частот системы. При  $f=5,3\%$  был получен максимальный эквивалентный декремент  $\delta_*=0,39$ , что почти в 18 раз выше, чем для оболочки без гасителя. Оптимальная настройка гасителя по частоте здесь также отсутствовала. При оптимальной настройке по частоте и демпфированию можно получить, как это следует из (4.7) при  $\kappa=0,144$ , максимально возможный при данных размерах гасителя эквивалентный декремент  $\delta_{**} = \pi g_{**} = 0,85$ . Отметим, что столь интенсивное гашение колебаний оболочки с жидкостью обеспечивается применением устройства, объем которого составляет около 0,1% от объема, занятого жидкостью.

#### ЛИТЕРАТУРА

1. Колесников К. С., Рыбак С. А., Самойлов Е. А. Динамика топливных систем ЖРД. М.: Машиностроение, 1975. 171 с.
2. Шкиярчук Ф. Н. Колебания упругой оболочки, содержащей жидкость с источником. — Изв. АН СССР. МТТ, 1977, № 6, с. 153—166.
3. Бужинский В. А. О колебаниях тонкостенной конструкции с жидкостью при различий гидродинамического гасителя. — ПММ, 1979, т. 43, вып. 6, с. 1095—1101.
4. Ден-Гартоз Дж. П. Теория колебаний. М.—Л.: Гостехиздат, 1942. 464 с.
5. Моисеев Н. Н. К теории колебаний упругих тел, имеющих жидкие полости. — ПММ, т. 23, вып. 5, с. 862—878.
6. Григорюк Э. И., Шкиярчук Ф. Н. Уравнения возмущенного движения тела с тонкостенной упругой оболочкой, частично заполненной жидкостью. — ПММ, 1970, т. 34, вып. 3, с. 404—411.
7. Микишев Г. Н., Рабинович Б. И. Динамика тонкостенных конструкций с отсеками, содержащими жидкость. М.: Машиностроение, 1971. 563 с.
8. Резников Л. М. Оптимизация параметров динамических гасителей с различными видами сопротивления. — Проблемы прочности, 1970, № 9, с. 46—51.

Москва

Поступила в редакцию  
22.IV.1980